

2.6 Energy Straggling: The Energy Loss Distribution

"まことにエネルギー-ビスの平均的な値をギリギリとする。
實際は統計的ゆるぎには必ず累積分布の1-式ある。

衡突の回数や、移動するエネルギーの度合い"。

ある一定のエネルギーでモード粒子が物質を通過した、出でた
粒子はエネルギーへばりつきがある。

理論的立場から以下ではある absorber (吸収体) の
厚い場合と薄い場合について考へる。

2.6.1 Thick Absorber: The Gaussian Limit

相対的に厚い absorber では衡突回数が多い。
衡突回数 N が十分多く、またそれを用いて
ある一定のビーカーをもつてより $\sigma = \sqrt{\langle x^2 \rangle - \bar{x}^2}$ で
表す場合

↓
分布の形は Gaussian となる。

分布の形は

$$f(x, \sigma) \propto \exp\left(-\frac{(x-\bar{x})^2}{2\sigma^2}\right) \quad (2.93)$$

$\begin{cases} x: \text{absorber の厚さ} \\ \Delta: \text{吸収体におけるエネルギー-ビス} \\ \bar{x}: \text{エネルギー-ビスの平均} \\ \sigma: \text{分散} \end{cases}$

非相対論的加重の粒子の σ_0

$$\sigma_0 = 4\pi N a v_e^2 (m_e c^2)^3 \rho \frac{2}{A} x = 0.1569 \rho \frac{2}{A} x \text{ [MeV]} \quad (2.94)$$

↓ 相対論的

$$\sigma^2 = \frac{\left(1 - \frac{1}{2}\beta^2\right)}{1 - \beta^2} \sigma_0^2 \quad (2.95)$$

(2)

2.6.2 Very thick absorber

入射するエネルギーの大部分を失うような場合では以下の
Gaussian の理論は適用できません。

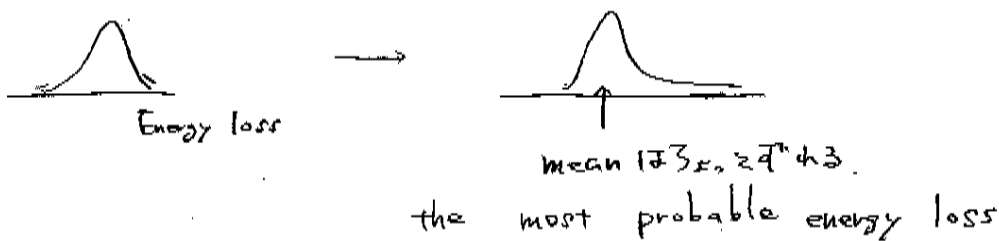
2.6.3 Thin Absorber : The Landau and Vavilov Theories

薄い場合は許されない変化をくわ。

二回の電子エネルギーをもつて移行する可能性がある。
例えは重い粒子では移行するエネルギーの最大値 W_{\max} は
上限があるが、電子などでは最初から、あるエネルギーの半分をも
失さないことがある。

電子などでは制動放熱による大いに "one shot" エネルギーが生じる。

二回ほどまことにしか起こらないが、二回かある = $W_{\max} = 2E_{\text{kin}} - b^2 \alpha$
分布は大きくなる tail をもく。



分布の理論的計算は Landau, Symon, Vavilov によく行われる。

分布を表す式は用いられる $\propto e^{-x^2/2}$

$$\phi(x) = \frac{1}{W_{\max}} e^{-x^2/2} \quad (2.96)$$

mean energy loss \bar{x} と移行するエネルギーの最大値 W_{\max} の比

\bar{x} は Bethe-Bloch formula による計算であるが、以下のようになされる。

$$\bar{x} \approx \xi = 2\pi Nae^2 MeC^2 \rho \frac{Z}{A} \left(\frac{2}{\rho}\right)^2 Z \quad (2.97)$$

thin absorber ... $1 < \kappa < 10$

$\kappa > 10 \rightarrow$ Gaussian \propto

(3)

• Landau's Theory

ラニダウさんは $\Phi \leq 0.01$ の場合を計算した。
その Φ_{max} 以下のよう仮定をめた。

- 1). $W_{\text{max}} \rightarrow \infty$, $\Phi \rightarrow 0$ をめた。
- 2). 電子は自由電子といつて扱う。
- 3). 軽さは減速せず、速度一定とした。

これらの仮定を置くと、分布の形 $f(x, \sigma)$ は (2.98) の
-2重の式で書ける (3.11). $\Phi(x)$ を計算するには
最も確からしいのは

$$\Delta_{\text{mp}} = \xi \left[\ln \left(\frac{\xi}{\varepsilon} \right) + 0.198 - \delta \right] \quad (2.99)$$

most probable

• Symon's Theory and Vavilov's Theory: Intermediate &

ラニダウさんの用いた方法をシモンは応用し種々の他の
 Φ に対するエネルギー - ロスを計算した。しかし今は用ひしていない。

• Vavilovさんの理論

Landauさんの仮定(1)を有する W_{max} は LT.

Vavilovさんの分散の式

$$\sigma^2 = \frac{\xi^2}{\Phi} \cdot \frac{1 - \rho^2}{2} \quad (2.100)$$

2.7 The Interaction of Photons

物質の中を光子が通ると主に3つを考える。X線やトネルが物質中で起こす相互作用は以下に挙げよう。

- 1) 光電効果
- 2) コンプロトン散乱
- 3) (電子-陽電子) 対生成

以上3つの効果はX線やトネルの3つの主要特徴を表わしている。

- (1). 光子は電子などとの干渉をもたらすが、物質の中を通過していく。
- (2). 光子は物質中を進んでいくとそのエネルギーは下りて強度だけが下がる。

(1)は光子を用いた際の Cross section かい
電子を使つてもよりはるかに小さいとかかる。

(2)は、最初に挙げた相互作用による散乱は吸収はともかくから光子が全て取引除かれており、という事実が主である。

↓

物質中をまくぐり通つても光子は何も相互作用を受けておらず、このように光子は最初のエネルギーを保持していく。しかし光子の個数は減る。

ビームの最終的な強度は

$$I(x) = I_0 \exp(-\mu x) \quad (2.101)$$

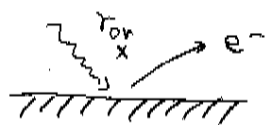
I_0 : ビームの最初の強度

x : 吸収係数・厚さ

μ : 吸収係数

2.7.1 Photoelectric Effect

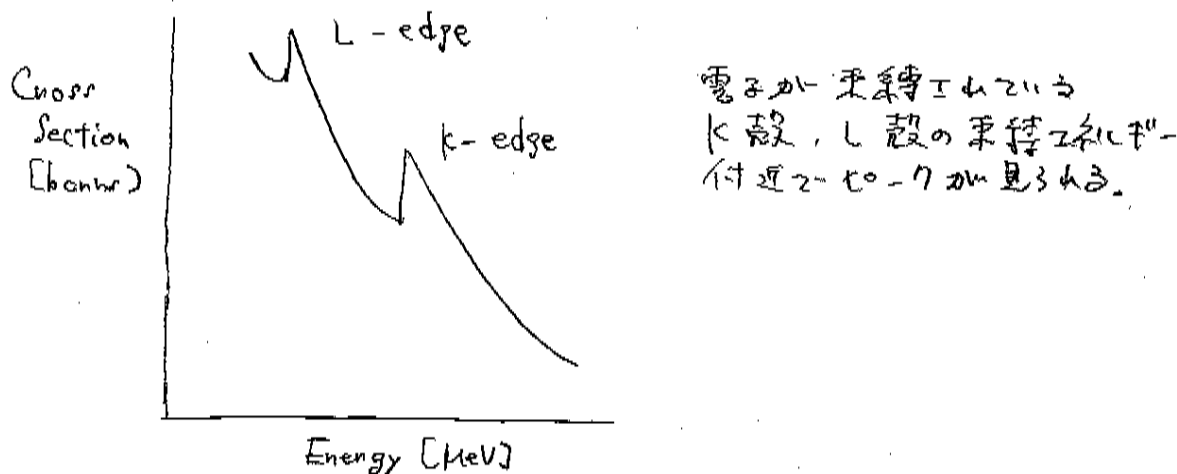
出でるく 電子のエネルギー = 0



$$E = h\nu - B.E \quad (2.102)$$

電子の束縛エネルギー

自由な電子は 光子を通り抜けて吸収してくる = とは言えないのを、
光電効率はいつも核子に束縛された電子が出て至る。



入射するエネルギー - の k-edge の大きさで、かく
非相対論的に扱えると、cross section とか
計算ができる (2.11)

$$\Phi_{photo} \propto z^5 \quad (2.103)$$

- C^0 の附近では (2.104), (2.105) の式のよう
補正がかかる。

- 敷 MeV 程度のエネルギーでは上の 2 依存性は
たゞ 1% 4~5% まで比例する形である。

検出器の検出効率を考え上で重要。

(6)

2.7.2 Compton Scattering

電子が自由電子に当たる (物質中の電子は電子は運動エネルギー)



この中の運動エネルギーや角度θ、γは計算できる。 (2.106) 式

微分断面積は Klein-Nishina formula で計算できる。

$$\frac{d\sigma}{d\Omega} = \frac{ne^2}{c^2} \frac{1}{[1 + r(1 - \cos\theta)]^2} \left(1 + \cos^2\theta + \frac{r^2(1 - \cos\theta)^2}{1 + r(1 - \cos\theta)} \right) \quad (2.107)$$

積分するとて 全断面積は計算できる (2.108) 式

Klein-Nishina が3次の2つの有用な値を計算できる。

σ^s = 散乱した photon (= FS cross section).

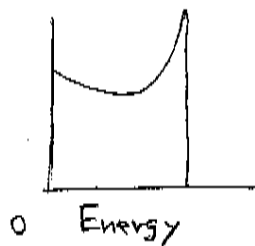
σ^a = 電子のほうから受けた運動量による cross section.

$$(\sigma_a = \sigma^s + \sigma^a) \quad (2.109)$$

$$\sigma^s \text{ は } \frac{d\sigma^s}{d\Omega} = \frac{h\nu'}{h\nu} \frac{d\sigma}{d\Omega} \quad (2.110) \text{ で計算できる。}$$

$$\downarrow \\ \sigma^s \quad (2.111) \text{ が求まる。}$$

検出器は 1=112 考えると、Compton 散乱は必ず出でる電子のエネルギー分布を考慮する。 (2.113) 式。



正面衝突(EとE) 最も電子のエネルギーが大きくなる。

≈ 273 eV - 2.7 eV
Compton edge ≈ 1.5.

(7)

2.7.3 Pair Production.

Pair Production (対生成) とは 1 MeV 以上の電子が
電子 - 陽電子対に γ と e



= これは半径放射との類似を考慮してかくできる。
 $\sim (2.119)$ まで。

- 113(13) カーク がいとあるけど、下の方では Pair Production
 (= たる 断面積が 2の 2乗 I=依存する =)

Total の cross section を計算するのに、Pair Production の
 起こる平均自由行程 λ_{pair} を計算することができる:

(2.121) で

$$\frac{1}{\lambda_{\text{pair}}} = N \tau_{\text{pair}} \quad (2.121)$$

平均自由行程の逆数が確率を表す =

\downarrow
 前述定数と寿命の関係

(2.01) \rightarrow 対応式

$$\lambda_{\text{pair}} \approx \frac{9}{\pi} L_{\text{rad}} \quad \text{で得る}$$

(2.122)

まとめ

相互作用の種類

\propto 依存性

Photoelectric Effect

4~5 (3~5?)

Compton Scattering

1

Pair Production

2